



Laboratorium EMVO Sp. J. Urbański, Pawełak  
ul. Jasna 1  
00-013 Warszawa

tel. +48 22 780 29 64  
e-mail: laboratorium@emvo.pl



AB 1630

## Sprawozdanie z pomiarów pól elektromagnetycznych - środowisko ogólne nr 1/06/OŚ/2021- ATE/WA



Nr i nazwa stacji	BT11964 SZELIGI	
Adres	Powązki, dz. 104/3, gm. Mszczonów, pow. żyrardowski, woj. mazowieckie	
Opracowanie	Martyna Karczmarczyk	Specjalista ds. pomiarów
Autoryzacja	Andrzej Urbański	Kierownik Laboratorium
Podpis	Podpis jest prawidłowy Dokument podpisany przez Andrzej Urbański Data: 2021.06.11 13:05:33 CEST Powód: Zatwierdzam dokument	
Data	2021-06-04	



## Spis treści

1. Informacje ogólne.....	3
2. Podstawa prawna.....	3
3. Opis pomiarów.....	3
4. Zróżnicowanie dopuszczalne poziomy pól elektromagnetycznych.....	5
5. Charakterystyka źródeł PEM.....	5
6. Wyniki pomiarów.....	5
7. Stwierdzenie zgodności.....	7
8. Oświadczenie.....	8
9. Spis załączników.....	8



## 1. Informacje ogólne.

Zleceniodawca	<b>ATEM – Polska Sp. z o.o.</b> , 20-315 Lublin, ul. Witosa 3 Osoba udzielająca informacji – Tadeusz Gdela
Istotne informacje dostarczone przez klienta	komplet informacji niezbędnych do wykonania pomiarów i opracowania sprawozdania
Dane otrzymane od klienta mogące mieć wpływ na ważność wyników	Dane anten sektorowych, dane anten radioliniowych, parametry pracy instalacji, poprawka pomiarowa, ustawienie pochylenia anten
Prowadzący instalację	<b>Polkomtel Infrastruktura sp. z o.o.</b> , ul. Konstruktorska 4, 02-673 Warszawa
Lokalizacja obiektu	Powązki, dz. 104/3, gm. Mszczonów, pow. żyrardowski, woj. mazowieckie
Miejsce instalacji anten	Wieża kratowa
Miejsce instalacji urządzeń	Outdoor
Osoby wykonujące pomiar	Michał Snoch
Data wykonania pomiaru	04.06.2021
Temperatura na początku pomiaru [°C]	24,0
Temperatura na koniec pomiaru [°C]	26,0
Warunki atmosferyczne	Brak opadów
Wilgotność na początku pomiaru [%]	33,0
Wilgotność na koniec pomiaru [%]	29,0
Inne źródła pól elektromagnetycznych oznaczone na załączniku graficznym	Nie występują
Parametry pracy instalacji	Rzeczywisty

## 2. Podstawa prawna.

### 2.1 Normy i rozporządzenia:

- Rozporządzeniem Ministra Klimatu z dnia 17 lutego 2020 r. w sprawie sposobów sprawdzania dotrzymania dopuszczalnych poziomów pól elektromagnetycznych w środowisku (Dz.U. 2020 poz. 258)
- Rozporządzenie Ministra Zdrowia z dnia 17 grudnia 2019 r. w sprawie dopuszczalnych poziomów pól elektromagnetycznych w środowisku (Dz.U. 2019 poz. 2448)
- Obwieszczenie Marszałka Sejmu Rzeczypospolitej Polskiej z dnia 19 lipca 2019 r. w sprawie ogłoszenia jednolitego tekstu ustawy - Prawo ochrony środowiska (Dz.U. 2019 poz. 1396).

## 3. Opis pomiarów



Metodologia pomiarowa	Pomiary w oparciu o Rozporządzeniem Ministra Klimatu z dnia 17 lutego 2020 r. w sprawie sposobów sprawdzania dotrzymania dopuszczalnych poziomów pól elektromagnetycznych w środowisku (Dz.U. 2020 poz. 258).
Cel badań	Określenie wartości natężenia pola elektrycznego w miejscach dostępnych dla ludności.
Opis zestawu pomiarowego	Miernik Narda NBM 550, Sonda EF9091, o zakresie pomiarowym 0,8 V/m - 300V/m pracująca w paśmie 0,1 – 90 GHz, świadectwo wydane przez Laboratorium Wzorców i Metrologii Pola Elektromagnetycznego, Instytut Telekomunikacji, Teleinformatyki i Akustyki Politechniki Wrocławskiej. Świadectwo ważne do 27.03.2022r. Miernik Narda NBM 550, Sonda EF9091 pracująca w zakresie temperatury -10°C - +50°C oraz wilgotności 5% - 95%. Niepewność rozszerzona 59 % przy poziomie ufności 95% z uwzględnieniem współczynnika rozszerzenia k=2.
Wypożyczenie pomocnicze	Termohigrometr Bestone, typ: GM1362-EN-00, nr identyfikacyjny 1222436, świadectwo wzorcowania z dn. 03.04.2017r. wydane przez Laboratorium Pomiarowe "MUTECH". Przymiar wstępowy STABILA, nr identyfikacyjny 5/WL/2016, świadectwo wzorcowania z dn. 06.09.2016 r. wydane przez Zespół Laboratoriów wzorcujących Okręgowego Urzędu Miar w Gdańsku. Dalmierz laserowy BOSH GLM 40, Świadectwo wzorcowania L4-L41.4180.141.2018.3061.1 z dnia 12 września 2018 wydane przez Pracownia Długości Samodzielnego Laboratorium Długości w Głównym Urzędzie Miar. GPS Garmin 64s okresowo sprawdzany w punktach osnowy geodezyjnej klasy 3 na podstawie licencji punktu, zgodnie z procedurą sprawdzeń okresowych IS/PO-16-11/03.
Pomiary zostały wykonane	<ol style="list-style-type: none"> <li>1. na głównych i pomocniczych kierunkach pomiarowych, na kierunkach zbliżonych do azymutów anten oraz w dodatkowych pionach pomiarowych zgodnie z wymaganiami pkt 12, 13, 14 i 19 załącznika do rozporządzenia Ministra Klimatu z dnia 17 lutego 2020 r. (Dz. U. 2020, poz. 258),</li> <li>2. na obszarze pomiarowym, dla którego, na podstawie uprzednio wykonanych obliczeń uzyskanych od zleceniodawcy, stwierdzono możliwość występowania pól elektromagnetycznych o poziomach zbliżonych do poziomów dopuszczalnych zgodnie z wymaganiami pkt 5 ppkt 2 oraz pkt 13 ppkt 1 załącznika do rozporządzenia Ministra Klimatu z dnia 17 lutego 2020 r. (Dz. U. 2020, poz. 258). Wyniki obliczeń nie uwzględniały parametrów pracy instalacji innych operatorów występujących na obiekcie bądź w obszarze pomiarowym.</li> <li>3. w miejscach dostępnych dla ludności.</li> <li>4. miejsca niedostępne podczas wykonywania pomiarów wskazane zostały w pkt 6 (tabeli wyniki pomiarów)</li> <li>5. wyniki pomiarów uzyskane zostały przy uwzględnieniu poprawek pomiarowych przekazanych przez zleceniodawcę oraz przy rzeczywistych warunkach pracy instalacji innych operatorów (w przypadku występowania). W takiej sytuacji uwzględniono jednolitą poprawkę pomiarową wynoszącą 1,47.</li> </ol>
Szczególne warunki podczas wykonywania pomiarów	Pomiary wykonane zostały podczas obowiązywania w kraju stanu epidemii, zgodnie z art. 122a ust. 1b Ustawy z dnia 27 kwietnia 2001 r. – Prawo ochrony środowiska (Dz. U. z 2019 r. poz. 1396, z późn. zm.9))
Warunki pracy urządzeń nadawczych	Podczas pomiarów zostały uwzględnione poprawki pomiarowe przekazane przez zleceniodawcę, umożliwiające uwzględnienie maksymalnych parametrów pracy





instalacji zgodnie z pkt 7 załącznika do Rozporządzeniem Ministra Klimatu z dnia 17 lutego 2020 r. w sprawie sposobów sprawdzania dotrzymania dopuszczalnych poziomów pól elektromagnetycznych w środowisku (Dz. U. 2020, poz. 258).

#### 4. Zróżnicowanie dopuszczalne poziomy pól elektromagnetycznych.

Zakresy znajdują się w Dzienniku Ustaw z dnia 17 grudnia 2019 r. przedstawione są w tabeli nr 2 (Dz. U. z 2019r. poz. 2448).

Parametr fizyczny Zakres Częstotliwości pola elektromagnetycznego	Składowa elektryczna E (V/m)	Składowa magnetyczna H (A/m)	Gęstość mocy S (W/m <sup>2</sup> )
od 400 MHz do 2000 MHz	$1,375 \times f^{0,5}$	$0,0037 \times f^{0,5}$	$f / 200$
od 2 GHz do 300 GHz	61	0,16	10

#### 5. Charakterystyka źródeł PEM.

Zgodnie z informacją otrzymaną od Klienta pomiary zostały wykonane przy ustawieniach pochylenia anten zgodnych z pkt. 13, ppkt 2 załącznika do rozporządzenia Ministra Klimatu z dnia 17 lutego 2020 roku.

Tabela 1. Anteny sektorowe - dane otrzymane od klienta

Typ anteny	Współrzędne geograficzne	Azymut mechaniczny [°]	Azymut elektryczny [°]	Wysokość zawieszenia anten (środek anteny) n.p.t. [m]	Pasmo częstotliwości [MHz]	Zakres pochylenia elektrycznego [°]	Średnie pochylenie anten (ustawione do pomiarów PEM) [°]	Zakres pochylenia mechanicznego [°]	Moc EIRP [W]	Suma EIRP [W]
80010310V01	51°56'11.60"N 20°27'39.50"E	90	90	50,00	900	0,5 - 9,5	5,0	0,0	4869	4869
80010310V01	51°56'11.60"N 20°27'39.50"E	210	210	50,00	900	0,5 - 9,5	5,0	0,0	4635	4635
80010310V01	51°56'11.60"N 20°27'39.50"E	330	330	50,00	900	0,5 - 9,5	5,0	0,0	4635	4635
AMB4520R8V06	51°56'11.60"N 20°27'39.50"E	90	60	50,00	1800	2,0 - 12,0	7,0	0,0	3923	3923
			120	50,00	1800	2,0 - 12,0	7,0		3923	3923
AMB4520R8V06	51°56'11.60"N 20°27'39.50"E	210	180	50,00	1800	2,0 - 12,0	7,0	0,0	4202	4202
			240	50,00	1800	2,0 - 12,0	7,0		4202	4202
AMB4520R8V06	51°56'11.60"N 20°27'39.50"E	330	0	50,00	1800	2,0 - 12,0	7,0	0,0	3923	3923
			300	50,00	1800	2,0 - 12,0	7,0		3923	3923

Tabela 2. Anteny radioliniowe- dane otrzymane od klienta

Typ anteny	Współrzędne geograficzne	Azymut [°]	Średnica [m]	Pasmo częstotliwości [GHz]	Zysk energetyczny [dBi]	Moc wyjściowa nadajnika [dBm]	EIRP [W]	Wysokość środka elektrycznego anten n.p.t. [m]
A23S80S06HAC	51°56'11.60"N 20°27'39.50"E	55	0,6	80	50	19	7943,28	47
A23S80S06HAC	51°56'11.60"N 20°27'39.50"E	55	0,6	23	39	19	630,96	47

#### 6. Wyniki pomiarów.

Wyniki pomiarów pól elektromagnetycznych dla celów ochrony środowiska przedstawia poniższa tabela. Piony pomiarowe zostały przedstawione w zał. 2.



Nr PP	Pole-E [V/m]	Pole-E *kE,+U [V/m]	Pole-H [A/m]	Pole-H *kE +U [A/m]	Wys. pomiaru [m]	Opis pionu	Uwagi	WM <sub>E</sub>	WM <sub>H</sub>
1	<0,8*	<1,87	<0,002	<0,005	0,3-2,0	N:51°56'15.3" E:20°27'39.8"	otoczenie stacji bazowej - 100m wzdłuż gł. osi promieniowania - GKP	<0,048	<0,047
2	<0,8*	<1,87	<0,002	<0,005	0,3-2,0	N:51°56'18.1" E:20°27'39.9"	otoczenie stacji bazowej - 200m wzdłuż gł. osi promieniowania - GKP	<0,048	<0,047
3	<0,8*	<1,87	<0,002	<0,005	0,3-2,0	N:51°56'21.3" E:20°27'40.0"	otoczenie stacji bazowej - 300m wzdłuż gł. osi promieniowania - GKP	<0,048	<0,047
4	<0,8*	<1,87	<0,002	<0,005	0,3-2,0	N:51°56'24.6" E:20°27'39.9"	otoczenie stacji bazowej - 400m wzdłuż gł. osi promieniowania- GKP	<0,048	<0,047
5	<0,8*	<1,87	<0,002	<0,005	0,3-2,0	N:51°56'27.8" E:20°27'40.1"	otoczenie stacji bazowej - 500m wzdłuż gł. osi promieniowania - GKP	<0,048	<0,047
6	<0,8*	<1,87	<0,002	<0,005	0,3-2,0	N:51°56'16.8" E:20°27'53.0"	otoczenie stacji bazowej - 300m wzdłuż gł. osi promieniowania - GKP	<0,048	<0,047
7	<0,8*	<1,87	<0,002	<0,005	0,3-2,0	N:51°56'18.5" E:20°27'58.1"	otoczenie stacji bazowej - 400m wzdłuż gł. osi promieniowania- GKP	<0,048	<0,047
8	<0,8*	<1,87	<0,002	<0,005	0,3-2,0	N:51°56'19.8" E:20°28'01.9"	otoczenie stacji bazowej - 500m wzdłuż gł. osi promieniowania - GKP	<0,048	<0,047
9	<0,8*	<1,87	<0,002	<0,005	0,3-2,0	N:51°56'11.6" E:20°27'54.9"	otoczenie stacji bazowej - 300m wzdłuż gł. osi promieniowania - GKP	<0,048	<0,047
10	<0,8*	<1,87	<0,002	<0,005	0,3-2,0	N:51°56'11.7" E:20°28'00.3"	otoczenie stacji bazowej - 400m wzdłuż gł. osi promieniowania- GKP	<0,048	<0,047
11	<0,8*	<1,87	<0,002	<0,005	0,3-2,0	N:51°56'11.6" E:20°28'05.6"	otoczenie stacji bazowej - 500m wzdłuż gł. osi promieniowania - GKP	<0,048	<0,047
12	<0,8*	<1,87	<0,002	<0,005	0,3-2,0	N:51°56'10.4" E:20°27'44.1"	otoczenie stacji bazowej - 100m wzdłuż gł. osi promieniowania - GKP	<0,048	<0,047
13	<0,8*	<1,87	<0,002	<0,005	0,3-2,0	N:51°56'08.9" E:20°27'47.8"	otoczenie stacji bazowej - 200m wzdłuż gł. osi promieniowania - GKP	<0,048	<0,047
14	<0,8*	<1,87	<0,002	<0,005	0,3-2,0	N:51°56'06.9" E:20°27'53.6"	otoczenie stacji bazowej - 300m wzdłuż gł. osi promieniowania - GKP	<0,048	<0,047
15	<0,8*	<1,87	<0,002	<0,005	0,3-2,0	N:51°56'05.5" E:20°27'58.2"	otoczenie stacji bazowej - 400m wzdłuż gł. osi promieniowania- GKP	<0,048	<0,047
16	<0,8*	<1,87	<0,002	<0,005	0,3-2,0	N:51°56'04.1" E:20°28'02.5"	otoczenie stacji bazowej - 500m wzdłuż gł. osi promieniowania - GKP	<0,048	<0,047
17	<0,8*	<1,87	<0,002	<0,005	0,3-2,0	N:51°56'08.8" E:20°27'39.6"	otoczenie stacji bazowej - 100m wzdłuż gł. osi promieniowania - GKP	<0,048	<0,047
18	<0,8*	<1,87	<0,002	<0,005	0,3-2,0	N:51°56'06.1" E:20°27'39.7"	otoczenie stacji bazowej - 200m wzdłuż gł. osi promieniowania - GKP	<0,048	<0,047
19	<0,8*	<1,87	<0,002	<0,005	0,3-2,0	N:51°56'02.2" E:20°27'40.2"	otoczenie stacji bazowej - 300m wzdłuż gł. osi promieniowania - GKP	<0,048	<0,047
20	<0,8*	<1,87	<0,002	<0,005	0,3-2,0	N:51°55'59.0" E:20°27'40.1"	otoczenie stacji bazowej - 400m wzdłuż gł. osi promieniowania- GKP	<0,048	<0,047
21	<0,8*	<1,87	<0,002	<0,005	0,3-2,0	N:51°55'55.7" E:20°27'40.0"	otoczenie stacji bazowej - 500m wzdłuż gł. osi promieniowania - GKP	<0,048	<0,047
22	<0,8*	<1,87	<0,002	<0,005	0,3-2,0	N:51°56'08.9" E:20°27'36.8"	otoczenie stacji bazowej - 100m wzdłuż gł. osi promieniowania - GKP	<0,048	<0,047
23	<0,8*	<1,87	<0,002	<0,005	0,3-2,0	N:51°56'06.4" E:20°27'33.7"	otoczenie stacji bazowej - 200m wzdłuż gł. osi promieniowania - GKP	<0,048	<0,047
24	<0,8*	<1,87	<0,002	<0,005	0,3-2,0	N:51°56'03.2" E:20°27'31.0"	otoczenie stacji bazowej - 300m wzdłuż gł. osi promieniowania - GKP	<0,048	<0,047
25	<0,8*	<1,87	<0,002	<0,005	0,3-2,0	N:51°56'00.4" E:20°27'29.0"	otoczenie stacji bazowej - 400m wzdłuż gł. osi promieniowania- GKP	<0,048	<0,047
26	<0,8*	<1,87	<0,002	<0,005	0,3-2,0	N:51°55'57.8" E:20°27'26.7"	otoczenie stacji bazowej - 500m wzdłuż gł. osi promieniowania - GKP	<0,048	<0,047
27	<0,8*	<1,87	<0,002	<0,005	0,3-2,0	N:51°56'10.4" E:20°27'34.8"	otoczenie stacji bazowej - 100m wzdłuż gł. osi promieniowania - GKP	<0,048	<0,047
28	<0,8*	<1,87	<0,002	<0,005	0,3-2,0	N:51°56'08.5" E:20°27'29.2"	otoczenie stacji bazowej - 200m wzdłuż gł. osi promieniowania - GKP	<0,048	<0,047
29	<0,8*	<1,87	<0,002	<0,005	0,3-2,0	N:51°56'07.3" E:20°27'25.6"	otoczenie stacji bazowej - 300m wzdłuż gł. osi promieniowania - GKP	<0,048	<0,047
30	<0,8*	<1,87	<0,002	<0,005	0,3-2,0	N:51°56'05.3" E:20°27'20.7"	otoczenie stacji bazowej - 400m wzdłuż gł. osi promieniowania- GKP	<0,048	<0,047
31	<0,8*	<1,87	<0,002	<0,005	0,3-2,0	N:51°56'03.9" E:20°27'16.3"	otoczenie stacji bazowej - 500m wzdłuż gł. osi promieniowania - GKP	<0,048	<0,047

„Bez pisemnej zgody Laboratorium niniejsze sprawozdanie nie może być powielane inaczej, jak tylko w całości. Ponadto wyniki dotyczą tylko badanych obiektów przywołanych w niniejszym sprawozdaniu z badań”  
1/06/OŚ/2021- ATE/WA



32	<0,8*	<1,87	<0,002	<0,005	0,3-2,0	N:51°56'13.4" E:20°27'34.9"	otoczenie stacji bazowej - 100m wzdłuż gł. osi promieniowania - GKP	<0,048	<0,047
33	<0,8*	<1,87	<0,002	<0,005	0,3-2,0	N:51°56'14.8" E:20°27'30.5"	otoczenie stacji bazowej - 200m wzdłuż gł. osi promieniowania - GKP	<0,048	<0,047
34	<0,8*	<1,87	<0,002	<0,005	0,3-2,0	N:51°56'16.5" E:20°27'26.3"	otoczenie stacji bazowej - 300m wzdłuż gł. osi promieniowania - GKP	<0,048	<0,047
35	<0,8*	<1,87	<0,002	<0,005	0,3-2,0	N:51°56'18.3" E:20°27'21.7"	otoczenie stacji bazowej - 400m wzdłuż gł. osi promieniowania - GKP	<0,048	<0,047
36	<0,8*	<1,87	<0,002	<0,005	0,3-2,0	N:51°56'20.2" E:20°27'17.7"	otoczenie stacji bazowej - 500m wzdłuż gł. osi promieniowania - GKP	<0,048	<0,047
37	<0,8*	<1,87	<0,002	<0,005	0,3-2,0	N:51°56'17.6" E:20°27'34.6"	otoczenie stacji bazowej - 200m wzdłuż gł. osi promieniowania - GKP	<0,048	<0,047
38	<0,8*	<1,87	<0,002	<0,005	0,3-2,0	N:51°56'22.7" E:20°27'29.6"	otoczenie stacji bazowej - 400m wzdłuż gł. osi promieniowania - GKP	<0,048	<0,047
39	<0,8*	<1,87	<0,002	<0,005	0,3-2,0	N:51°56'25.7" E:20°27'27.2"	otoczenie stacji bazowej - 500m wzdłuż gł. osi promieniowania - GKP	<0,048	<0,047
40	<0,8*	<1,87	<0,002	<0,005	0,3-2,0	N:51°56'13.3" E:20°27'40.9"	otoczenie stacji bazowej - PKP	<0,048	<0,047
41	<0,8*	<1,87	<0,002	<0,005	0,3-2,0	N:51°56'08.5" E:20°27'42.4"	otoczenie stacji bazowej - PKP	<0,048	<0,047
42	<0,8*	<1,87	<0,002	<0,005	0,3-2,0	N:51°56'12.2" E:20°27'32.5"	otoczenie stacji bazowej - PKP	<0,048	<0,047
A	<0,8*	<1,87	<0,002	<0,005	0,3-2,0	N:51°56'13.4" E:20°27'39.5"	Dębowa 11B, pomiar przed bramą - DPP	<0,048	<0,047
B	<0,8*	<1,87	<0,002	<0,005	0,3-2,0	N:51°56'12.1" E:20°27'41.3"	Dębowa 11A, pomiar przed bramą - DPP	<0,048	<0,047
C	<0,8*	<1,87	<0,002	<0,005	0,3-2,0	N:51°56'14.7" E:20°27'39.2"	Dębowa 8, pomiar przed bramą - DPP	<0,048	<0,047
D	<0,8*	<1,87	<0,002	<0,005	0,3-2,0	N:51°56'15.4" E:20°27'37.8"	Dębowa 11C, pomiar przed bramą - DPP	<0,048	<0,047
E	<0,8*	<1,87	<0,002	<0,005	0,3-2,0	N:51°56'15.9" E:20°27'37.3"	Dębowa 13, pomiar przed bramą - DPP	<0,048	<0,047
F	<0,8*	<1,87	<0,002	<0,005	0,3-2,0	N:51°56'17.4" E:20°27'33.0"	Dębowa 17, pomiar przed bramą - DPP	<0,048	<0,047
G	<0,8*	<1,87	<0,002	<0,005	0,3-2,0	N:51°56'17.9" E:20°27'31.8"	Dębowa 19, pomiar przed bramą - DPP	<0,048	<0,047
H	<0,8*	<1,87	<0,002	<0,005	0,3-2,0	N:51°56'18.7" E:20°27'30.2"	Dębowa 16, pomiar przed bramą - DPP	<0,048	<0,047
I	<0,8*	<1,87	<0,002	<0,005	0,3-2,0	N:51°56'17.7" E:20°27'33.2"	Dębowa 14, pomiar przed bramą - DPP	<0,048	<0,047

Wynik pomiaru pole - E [V/m] - maksymalna wartość chwilowa zmierzona w danych pionie pomiarowym

\* poniżej czułości zestawu pomiarowego

GKP - główne kierunki pomiarowe

PKP - pomocnicze kierunki pomiarowe

DPP- dodatkowe punkty pomiarowe

PP – pion pomiarowy

U - niepewność pomiarowa rozszerzona, przy poziomie ufności 95%, z uwzględnieniem współczynnika rozszerzenia k=2

kE – poprawka pomiarowa badanej instalacji radiokomunikacyjnej podana przez operatora (kE=1,47), poprawka pomiarowa w przypadku oddziaływania innych instalacji radiokomunikacyjnych na badany obszar (kE=2,0)

WM<sub>E</sub> - wartość wskaźnikowa poziomu emisji pól elektromagnetycznych dla miejsc dostępnych dla ludności dla składowej elektrycznej pola

WM<sub>H</sub> - wartość wskaźnikowa poziomu emisji pól elektromagnetycznych dla miejsc dostępnych dla ludności dla składowej magnetycznej pola

Przyjęto najniższą dopuszczalną wartość składowej elektrycznej pola dla objętego pomiarami zakresu częstotliwości min(ME<sub>gr</sub>)= 38,8 V/m oraz składowej magnetycznej min(MH<sub>gr</sub>)= 0,105 A/m.

## 7. Stwierdzenie zgodności

Na podstawie wytycznych podanych w Rozporządzeniu Ministra Zdrowia z dnia 17 grudnia 2019 r. w sprawie dopuszczalnych poziomów pól elektromagnetycznych w środowisku (Dz.U. 2019 poz. 2448) oraz sposobów sprawdzania dotrzymania tych poziomów zgodnie z Rozporządzeniem Ministra Klimatu z dnia 17 lutego 2020 r. w

„Bez pisemnej zgody Laboratorium niniejsze sprawozdanie nie może być powielane inaczej, jak tylko w całości. Ponadto wyniki dotyczą tylko badanych obiektów przywołanych w niniejszym sprawozdaniu z badań”

1/06/OŚ/2021- ATE/WA

Strona 7 z 10



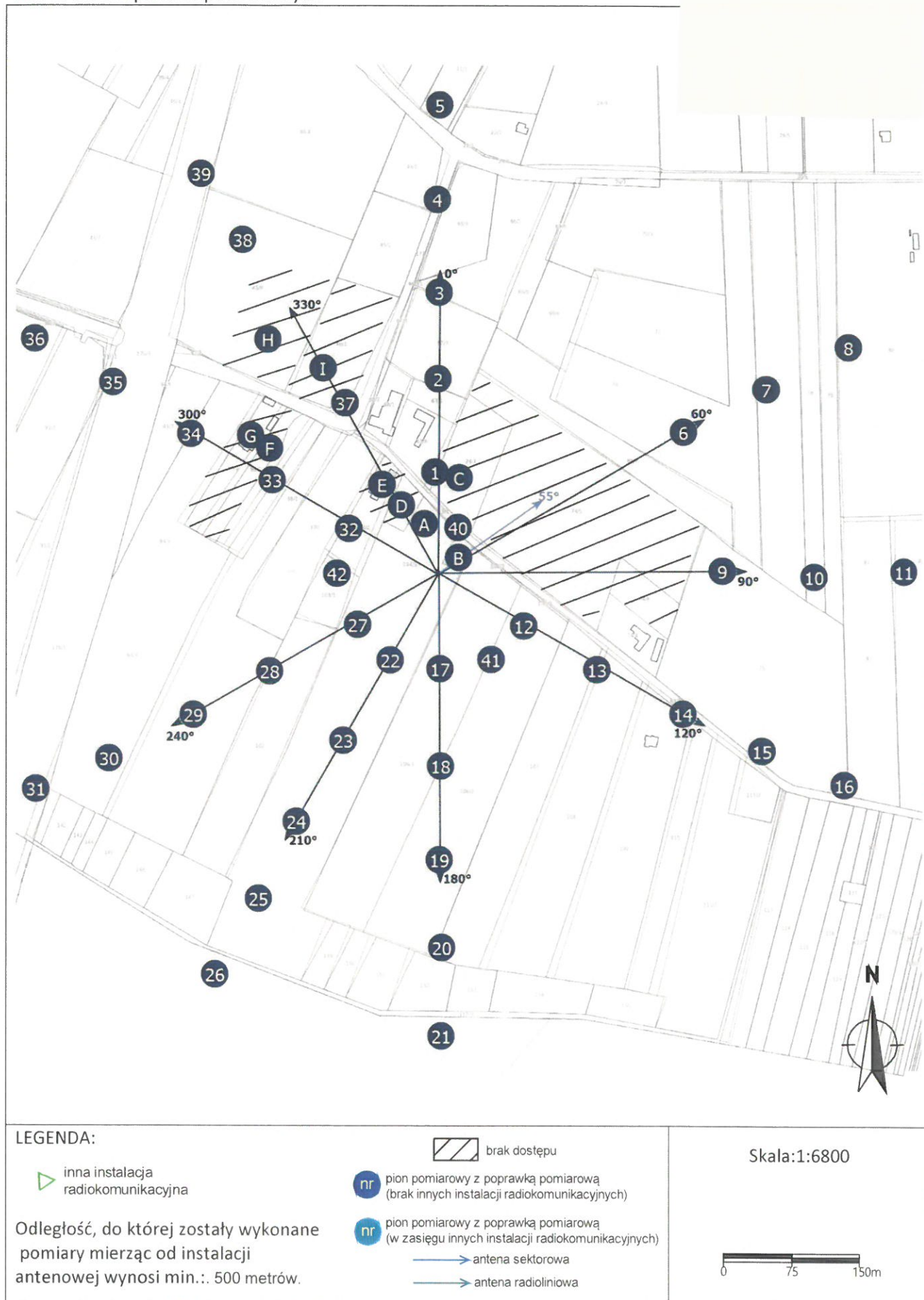








Załącznik 2. Widok pionów pomiarowych



„Bez pisemnej zgody Laboratorium niniejsze sprawozdanie nie może być powielane inaczej, jak tylko w całości. Ponadto wyniki dotyczą tylko badanych obiektów przywołanych w niniejszym sprawozdaniu z badań”



### Załącznik 3. Załączniki graficzne.



